

# **Beitrag zur Berechnung eines Konvertertragrings mit offenem Profil insbesondere Unterberücksichtigung Wölbkrafttorsion.**

von

**Dr. - Ing. Şevket BAKIR**

## **Einleitung zur Problemstellung**

Die Gefässe für die heutigen Konverter für das LD- und LDAC-Verfahren erreichen Höhen bis ca. 10 m und Durchmesser bis ca. 8 m bei einem Gesamtgewicht bis zu 1000 t. Sie ruhen in einem Konvertertragrings.

Oberhalb und unterhalb des tragrings werden heute fast ausschliesslich je 4 konsolartige Pratzten an dem Gefässmantel angeschweisst, die zur Kraftübertragung zwischen Konvertergefäss und Tragrings dienen (s. Abb 1).

Im Betrieb können an Teilen des Tragrings und des Konvertergefässes Temperaturen über 400° C auftreten. Diese Temperaturen verursachen aussergewöhnliche Beanspruchungen und vermindern die Festigkeit des Werkstoffes. Sie beeinflussen daher das Tragverhalten des Konverters und des Tragrings ganz entscheidend. Dies kann verbessert werden, wenn Z.B. durch konstruktive Massnahmen die Betriebstemperaturen gesenkt werden.

In einer Untersuchung sollte Änderung der Gestalt des Tragrings die Abkühlungsmöglichkeit verbessert werden. Dabei wurde anstelle eines geschlossenen Tragringsprofil ein effanes gewählt. Zur Ermittlung der maximalen Spannungen in einem solchen Bauteil sind theoretisch durchgeführt worden, wobei von den Belastungs- und Geometriebedingungen eines Tragrings mit geschlossenem Profil ausgegangen worden ist. Damit konnten die maximalen Gesamtspannungen zwischen in der Praxis optimal ausgelegtem Konvertertragrings und theoretischem Tragrings mit offenem Profil verglichen werden.

## Berechnungs Grundlagen

Die Berechnung der Wölbspannungen von geraden, dünnwandigen, offenen Profilen werden in [1], [2] und [3] behandelt. In [4] wurde ohne Berücksichtigung des Wölbkrafttorsionseninflusses die Lösung des geschlossenen Kreisringsproblems unter Verwendung der Formänderungsarbeit angegeben.

Die fundamentalen, exakten Differentialgleichungen sind in [1] zur Berechnung der Wölbspannungen von eben bzw. räumlich gekrümmten, dünnwandigen Stäben aufgeführt, wobei eine Lösung nicht angegeben wurde.

In [5] wurden die vollständigen Lösungen des Tragringsproblems mit Berücksichtigung des *Wölbkrafttorsionseinflusses* gewonnen.

## Belastung des Konvertertragrings

Die Belastung des Tragrings lässt sich in vier Anteile aufteilen (s. Abb. 2).

1. Einzellast  $F$ , senkrecht zur Krümmungsebene
2. Stetig verteilte Last  $q$  (Eigengewicht)
3. Äusseres Einzeltorsionsmoment  $M_1$
4. Stetig verteiltes Drillmoment  $m$ ,

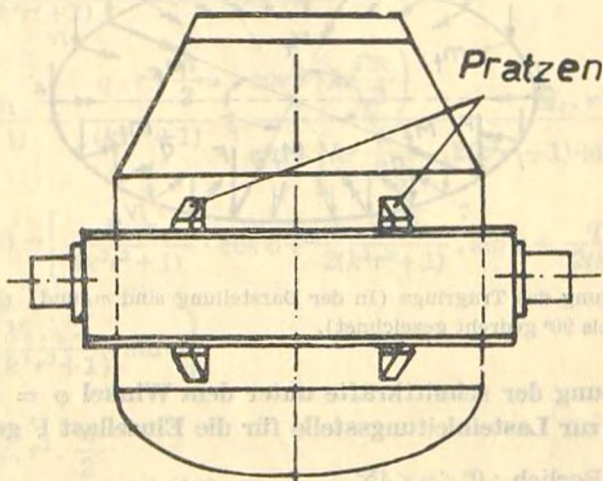


Abb. 1-a

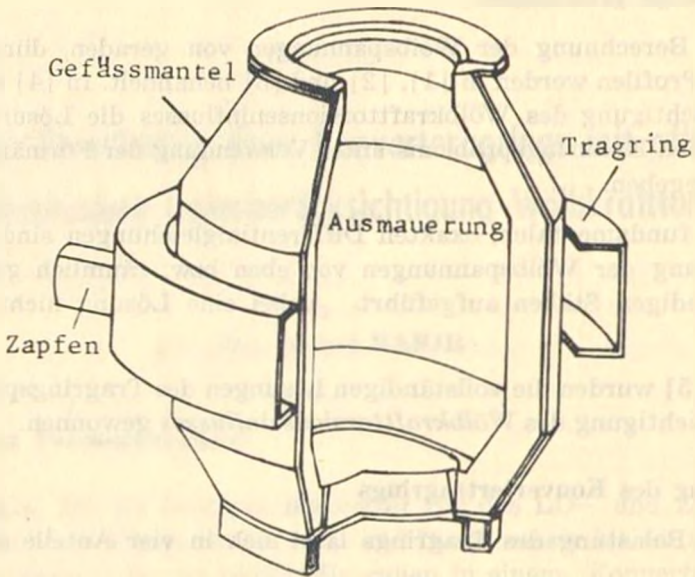


Abb. 1-b

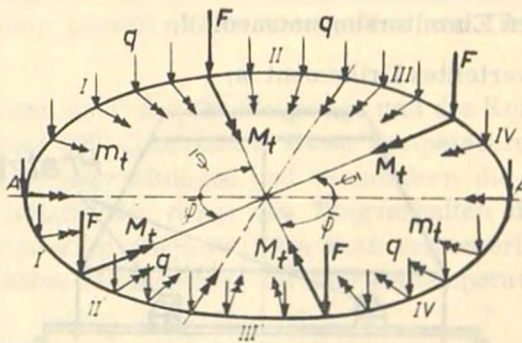


Abb. 2. Belastung des Tragrings (In der Darstellung sind  $m_t$  und  $M_t$  im Uhrzeigersinn als  $90^\circ$  gedreht gezeichnet).

Bestimmung der schnittkräfte unter dem Winkel  $\varphi = 45^\circ$ , der vom Auflager bis zur Lasteinleitungsstelle für die Einzellast  $F$  gemessen wird.

Für den Bereich :  $0^\circ \leq \varphi \leq 45^\circ$ .

$$Q_{\varphi} = F + q \cdot r \cdot \left( \frac{\pi}{2} - \varphi \right)$$

$$M_{r\varphi} = F \cdot r \cdot \sin \varphi - F \cdot r \cdot \frac{\sqrt{2}}{2} \cdot \cos \varphi + q \cdot r^2 \cdot \left( \frac{\pi}{2} \cdot \sin \varphi - 1 \right) + M_t \cdot \frac{\sqrt{2}}{2} \cdot \cos \varphi$$

$$M_{D\varphi} = F \cdot r \cdot (1 - \cos \varphi) - F \cdot r \cdot \frac{\sqrt{2}}{2} \cdot \sin \varphi + q \cdot r^2 \cdot \frac{\pi}{2} - q \cdot r^2 \left( \frac{\pi}{2} \cdot \cos \varphi + \varphi \right) + M_t \cdot \frac{\sqrt{2}}{2} \cdot \sin \varphi + m_t \cdot \frac{r}{2} \cdot (\pi - 2\varphi)$$

$$M_{DP\varphi} = - \left[ \frac{F \cdot r + q \cdot r^2 \cdot \frac{\pi}{2}}{k^2 r^2 + 1} \right] \cdot \cos h(kr \varphi) +$$

$$+ \left[ \frac{F \cdot r \cdot K_1}{2(k^2 r^2 + 1)} + \frac{q \cdot r^2 \cdot \frac{\pi}{2}}{k^2 r^2 + 1} \cdot \frac{\cos h \left( kr \frac{\pi}{2} \right)}{\sin h \left( kr \frac{\pi}{2} \right)} - \frac{M_t \cdot r^2 \cdot k^2}{2(k^2 r^2 + 1) \sin h \left( kr \frac{\pi}{4} \right)} \right] \cdot \sin h(kr \varphi) + \frac{m_t \cdot r}{2} \cdot (\pi - 2\varphi) + F \cdot r + \frac{F \cdot r^2 \cdot k^2}{k^2 r^2 + 1} \cdot \cos \varphi \cdot \left( 1 - \frac{\sqrt{2}}{2} \right) +$$

$$+ q \cdot r^2 \cdot \frac{\pi}{2} - q \cdot r^2 \cdot \varphi - \frac{q \cdot r^4 \cdot k^2 \cdot \pi}{2(k^2 r^2 + 1)} \cdot \cos \varphi + \frac{M_t \cdot r^2 \cdot k^2 \cdot \sqrt{2}}{2(k^2 r^2 + 1)} \cdot \sin \varphi$$

$$M_{DS\varphi} = \frac{F \cdot r + q \cdot r^2 \cdot \frac{\pi}{2}}{(k^2 r^2 + 1)} \cdot \cos h(kr \varphi) -$$

$$- \left[ \frac{F \cdot r \cdot K_1}{2(k^2 r^2 + 1)} + \frac{q \cdot r^2 \cdot \frac{\pi}{2}}{(k^2 r^2 + 1)} \cdot \frac{\cos h \left( kr \frac{\pi}{2} \right)}{\sin h \left( kr \frac{\pi}{2} \right)} - \frac{M_t \cdot r^2 \cdot k^2}{2(k^2 r^2 + 1) \cdot \sin h \left( kr \frac{\pi}{4} \right)} \right] \cdot \sin h(kr \varphi) - \left[ \frac{F \cdot r}{(k^2 r^2 + 1)} \cdot \cos \varphi + \frac{F \cdot r \sqrt{2}}{2(k^2 r^2 + 1)} \cdot \sin \varphi + \frac{q \cdot r^2 \cdot \pi}{2(k^2 r^2 + 1)} \right] \cdot \cos \varphi - \frac{M_t \cdot \sqrt{2}}{2(k^2 r^2 + 1)} \sin \varphi$$

$$B_\varphi = \frac{F \cdot r + q \cdot r^2 \cdot \frac{\pi}{2}}{k(k^2 r^2 + 1)} \cdot \sin h(kr \varphi) -$$

$$\begin{aligned}
 & - \left[ \frac{F \cdot r K_1}{2k(k^2 r^2 + 1)} + \frac{q \cdot r^2 \cdot \frac{\pi}{2}}{k(k^2 r^2 + 1)} \cdot \frac{\cosh \left( kr \frac{\pi}{2} \right)}{\sin h \left( kr \frac{\pi}{2} \right)} \cdot \frac{M_t \cdot r^2 \cdot k}{2(k^2 r^2 + 1) \sin h \left( kr \frac{\pi}{4} \right)} \right] \\
 & \cdot \cosh (kr \varphi) + \frac{m_t}{k^2} - \left[ \frac{F \cdot r^2}{(k^2 r^2 + 1)} \cdot \sin \varphi - \frac{F r^2 \sqrt{2}}{2(k^2 r^2 + 1)} \cdot \cos \varphi - \frac{q \cdot r}{k^2} + \right. \\
 & \left. + \frac{q \cdot r^3}{(k^2 r^2 + 1)} \cdot \sin \varphi + \frac{M_t \cdot r \cdot \sqrt{2}}{2(k^2 r^2 + 1)} \cdot \cos \varphi \right]
 \end{aligned}$$

Für den Bereich:  $45^\circ \leq \varphi \leq 90^\circ$

$$Q_{\varphi\varphi} = q \cdot r \left( \frac{\pi}{2} - \varphi \right)$$

$$M_{x\varphi} = F \cdot r \left( 1 - \frac{\sqrt{2}}{2} \right) \sin \varphi + q \cdot r^2 \left( \frac{\pi}{2} \sin \varphi - 1 \right) + M_t \cdot \frac{\sqrt{2}}{2} \sin \varphi$$

$$\begin{aligned}
 M_{D\varphi} = & -F \cdot r \left( 1 - \frac{\sqrt{2}}{2} \right) \cos \varphi + q \cdot r^2 \cdot \frac{\pi}{2} - q \cdot r^2 \left( \frac{\pi}{2} \cdot \cos \varphi + \varphi \right) - \\
 & - M_t \cdot \frac{\sqrt{2}}{2} \cdot \cos \varphi + \frac{m_t \cdot r}{2} (\pi - 2\varphi)
 \end{aligned}$$

$$\begin{aligned}
 M_{D\varphi\varphi} = & \left[ -\frac{F \cdot r}{2(k^2 r^2 + 1)} \cdot K_2 \cdot \sin h \left( kr \frac{\pi}{2} \right) - \frac{q \cdot r^3 \cdot \frac{\pi}{2}}{2(k^2 r^2 + 1)} + \right. \\
 & \left. + \frac{M_t \cdot r^2 \cdot k^2}{2(k^2 r^2 + 1)} \cdot \frac{\sin h \left( kr \frac{\pi}{2} \right)}{\sin h \left( kr \frac{\pi}{4} \right)} \cdot \cosh (kr \varphi) + \right. \\
 & \left. + \left[ \frac{F \cdot r}{2(k^2 r^2 + 1)} \cdot K_2 \cdot \cosh \left( kr \frac{\pi}{2} \right) + \frac{q \cdot r^3 \cdot \frac{\pi}{2}}{2(k^2 r^2 + 1)} \cdot \frac{\cosh \left( kr \frac{\pi}{2} \right)}{\sin h \left( kr \frac{\pi}{2} \right)} - \right. \right. \\
 & \left. \left. - \frac{M_t \cdot r^2 \cdot k^2}{2(k^2 r^2 + 1)} \cdot \frac{\cos h \left( kr \frac{\pi}{2} \right)}{\sin h \left( kr \frac{\pi}{4} \right)} \right] \cdot \sin h (kr \varphi) + \right.
 \end{aligned}$$

$$\begin{aligned}
 & + \frac{m_1 \cdot r}{2} (\pi - 2\varphi) - \frac{F \cdot r^3 \cdot k^2 (1 - \sqrt{2}/2)}{(k^2 r^2 + 1)} \cdot \cos \varphi + q \cdot r^2 \cdot \frac{\pi}{2} - \\
 & - q r^2 \varphi - \frac{q \cdot r^4 \cdot k^2 \cdot \pi}{2(k^2 r^2 + 1)} \cdot \cos \varphi - \frac{M_1 \cdot r^2 \cdot k^2 \sqrt{2}}{2(k^2 r^2 + 1)} \cdot \cos \varphi \\
 M_{DS\varphi} = & \left[ \frac{F \cdot r \cdot K_2}{2(k^2 r^2 + 1)} \cdot \sin h \left( kr \frac{\pi}{2} \right) + \frac{q \cdot r^2 \cdot \frac{\pi}{2}}{2(k^2 r^2 + 1)} - \right. \\
 & \left. - \frac{M_1 \cdot r^2 \cdot k^2}{2(k^2 r^2 + 1)} \cdot \frac{\sin h \left( kr \frac{\pi}{2} \right)}{\sin h \left( kr \frac{\pi}{4} \right)} \right] \cdot \cos h (kr \varphi) - \\
 & - \left[ \frac{F \cdot r}{2 \cdot k^2 r^2 + 1} \cdot K_2 \cos h \left( kr \frac{\pi}{2} \right) + \frac{q \cdot r^2 \cdot \frac{\pi}{2}}{2(k^2 r^2 + 1)} \cdot \frac{\cos h \left( kr \frac{\pi}{2} \right)}{\sin h \left( kr \frac{\pi}{2} \right)} - \right. \\
 & \left. - \frac{M_1 \cdot r^2 \cdot k^2}{2(k^2 r^2 + 1)} \cdot \frac{\cos h \left( kr \frac{\pi}{2} \right)}{\sin h \left( kr \frac{\pi}{4} \right)} \right] \cdot \sin h (kr \varphi) - \\
 & - \left[ \frac{F \cdot r (1 - \sqrt{2}/2)}{(k^2 r^2 + 1)} \cdot \cos \varphi + \frac{q \cdot r^2 \cdot \frac{\pi}{2}}{(k^2 r^2 + 1)} \cdot \cos \varphi + \frac{M_1 \cdot \sqrt{2}/2}{(k^2 r^2 + 1)} \cos \varphi \right] \\
 B_s = & \left[ \frac{F \cdot r}{2k(k^2 r^2 + 1)} K_2 \cdot \sin h \left( kr \frac{\pi}{2} \right) + \frac{q \cdot r^2 \cdot \frac{\pi}{2}}{2k(k^2 r^2 + 1)} - \right. \\
 & \left. - \frac{M_1 \cdot r^2 \cdot k}{2(k^2 r^2 + 1)} \cdot \frac{\sin h \left( kr \frac{\pi}{2} \right)}{\sin h \left( kr \frac{\pi}{4} \right)} \right] \cdot \sin h kr \varphi - \\
 & - \left[ \frac{F \cdot r}{2k(k^2 r^2 + 1)} K_2 \cdot \cos h \left( kr \frac{\pi}{2} \right) + \frac{q \cdot r^2 \cdot \frac{\pi}{2}}{2k(k^2 r^2 + 1)} \cdot \frac{\cos h \left( kr \frac{\pi}{2} \right)}{\sin h \left( kr \frac{\pi}{2} \right)} - \right.
 \end{aligned}$$

$$\begin{aligned}
 & - \frac{M_t \cdot r^2 \cdot k}{2(k^2 r^2 + 1)} \cdot \frac{\cosh\left(kr \frac{\pi}{2}\right)}{\sinh\left(kr \frac{\pi}{2}\right)} \left. \right] \cdot \cosh(kr \varphi) + \\
 & + \frac{m_t}{k^4} \left[ \frac{F \cdot r^2 \left(1 - \frac{\sqrt{2}}{2}\right)}{(k^2 r^2 + 1)} \cdot \sin \varphi - \frac{q \cdot r}{k^2} + \frac{q \cdot r^3 \cdot \frac{\pi}{2}}{(k^2 r^2 + 1)} \cdot \sin \varphi + \right. \\
 & \left. + \frac{M_t \cdot r \sqrt{2/2}}{(k^2 r^2 + 1)} \cdot \sin \varphi \right]
 \end{aligned}$$

Dabei sind die Konstanten  $k$ ,  $K_1$  und  $K_2$  aus folgenden Beziehungen anzunehmen :

$$k = \sqrt{\frac{GI_d}{EI_0}}$$

$$K_1 = \frac{\cosh\left(kr \frac{\pi}{4}\right) - 1}{\sinh\left(kr \frac{\pi}{4}\right)} + \frac{\sinh\left(kr \frac{\pi}{4}\right)}{\cosh\left(kr \frac{\pi}{4}\right)} \text{ und}$$

$$K_2 = \frac{\cosh\left(kr \frac{\pi}{4}\right) - 1}{\sinh\left(kr \frac{\pi}{4}\right)} - \frac{\sinh\left(kr \frac{\pi}{4}\right)}{\cosh\left(kr \frac{\pi}{4}\right)}$$

Für die in oben angegebenen Formeln, die nach [5] ähnlicherweise abgeleitet werden können, wurden die Verläufe der Querkräfte  $Q_y$ , der

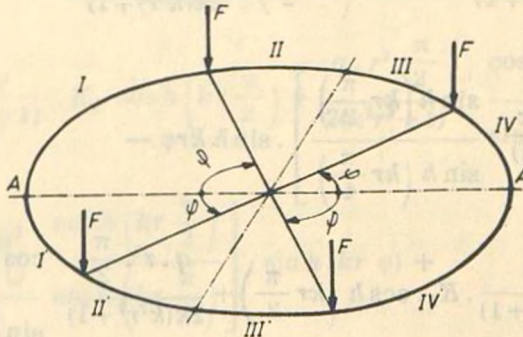


Abb. 3. Belastung des Tragrings nur für die Einzellast  $F$ .

Biegemomente  $M_x$ , der Gesamttorsionsmomente  $M_D$ , der primären Torsionsmomente  $M_{DP}$  (auch reine oder Saint Venant'sche genannt), der sekundären Torsionsmomente  $M_{DS}$  und der Bimomente (auch Wölbmomente bezeichnet) in den Abb. 4 bis 8 nach der Belastung des *Konvertertrags* für die Einzellast  $F$  dargestellt (S. Abb. 3).

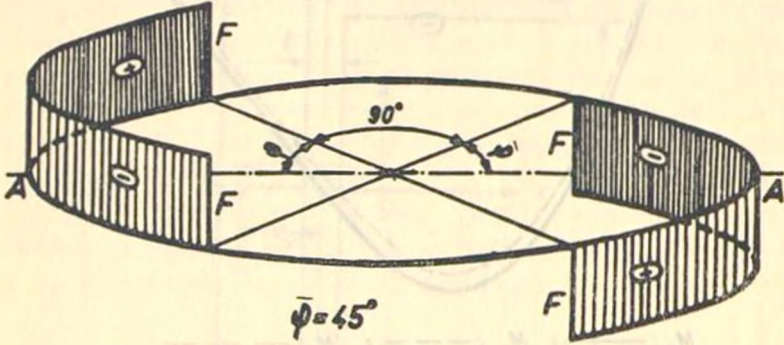


Abb. 4.  $Q_y$  - Verlauf.

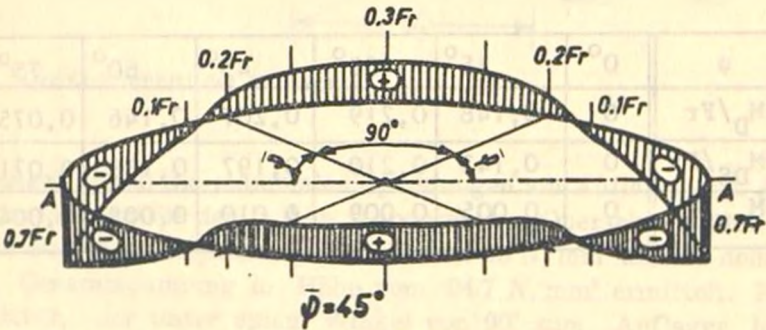


Abb. 5.  $M_x$  - Verlauf.

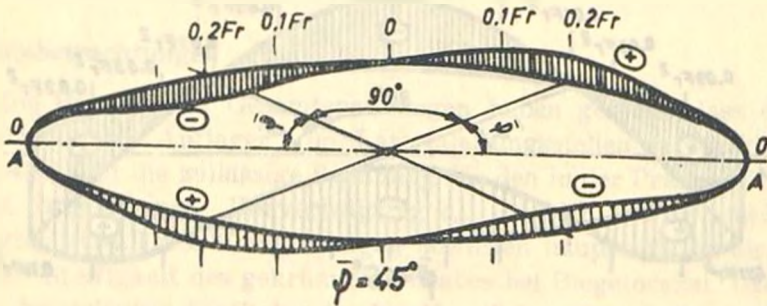
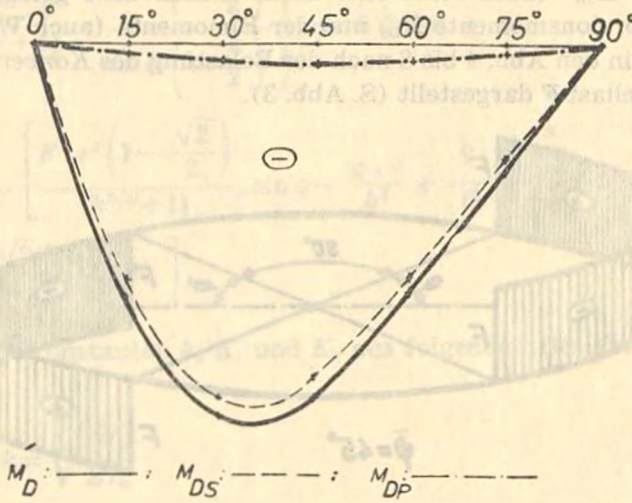


Abb. 6.  $M_D$  - Verlauf.

Abb. 7.  $M_{DS}$  - und  $M_{DP}$  - Verläufe für den vierten Teil des Tragrings

$\varphi$	$0^\circ$	$15^\circ$	$30^\circ$	$45^\circ$	$60^\circ$	$75^\circ$	$90^\circ$
$-M_D/Fr$	0	0,148	0,219	0,207	0,146	0,075	0
$-M_{DS}/Fr$	0	0,143	0,210	0,197	0,138	0,071	0
$-M_{DP}/Fr$	0	0,005	0,009	0,010	0,008	0,004	0

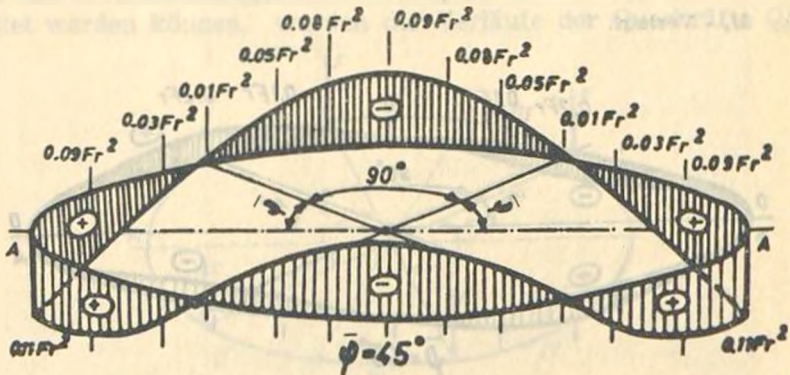


Abb. 8. B - Verlauf.



gekrümmter Stab mit offenem Profil betrachtet werden. Er nimmt vielmehr eine Mittelstellung zwischen einem gekrümmten, dünnwandigen Stab mit offenem Querschnittsprofil und einem mit geschlossener Querschnittskontur ein. Da für diesen Fall keine Berechnungswege zur Ermittlung der Gesamtspannungen zur Verfügung stehen, konnte der Einfluss der Verstärkungen bei den theoretischen Betrachtungen nicht berücksichtigt werden. Um den Einfluss der Verstärkungen am gekrümmten Stab zu ermitteln, sollen experimentelle Untersuchungsmethoden angewandt werden. In [5] wurden dazu spannungsoptische Modelluntersuchungen durchgeführt, da dort angewandeten experimentellen Wege die Verteilung Wölb- und Biegespannungen für den ganzen Ring mit geringem Aufwand bestimmt werden konnten. Bei den experimentel ermittelten Gesamtspannungen konnte gezeigt werden, dass ein Tragring mit offenem Profil (S. Abb. 10), der gegenüber einem Konvertertragring mit gesch-

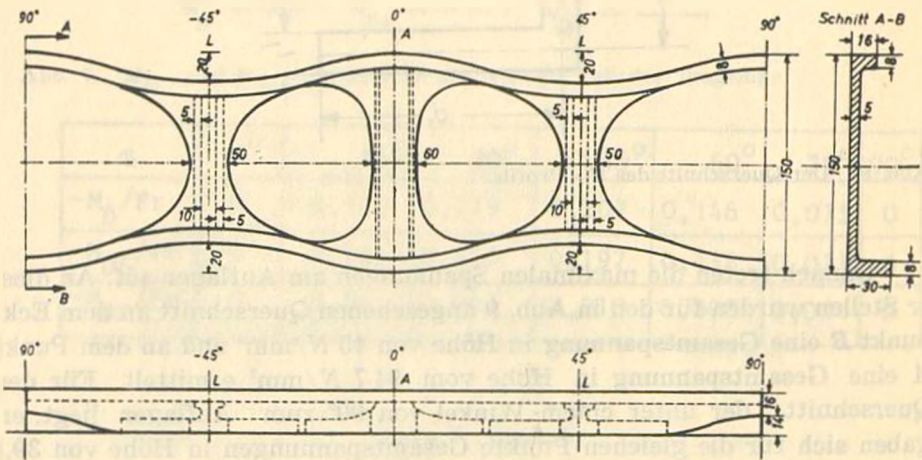


Abb. 10. Das Modell eines Tragrings mit offenem Profil.

lossenem Querschnittsprofil in Bezug auf Wärmespannungen sehr viel günstiger ist, so ausgelegt werden kann, dass an keiner Stelle des Konvertertragrings, die maximale zulässige Spannung  $50 \text{ N/mm}^2$  überschritten wird.

### Literaturverzeichnis

- [1] Wlassow, W. S.: Dünnwandige elastische Stäbe, Band 1 und 2, Deutsche Bearbeitung Eva Duda, VEB - Verlag für Bauwesen, Berlin 1965.

- [2] Bornscheuer, F., W. : Systematische Darstellung des Biege - und verdrehvorganges, Stahlbau 21(1952), S. 1/3.
- [3] Bornscheuer, F., W. : Beispiel und Formelsammlung zur Spannungsberechnung dünnwandiger Stäbe, Stahlbau 2(1952), S. 225/232 und Stahlbau 22(1953) S. 32/44.
- [4] Biezeno, C., B. und Grammel, R. : Technische Dynamik, 2. Aufl., 1. Band, S. 362 Kap. V, Springer - Verlag Berlin, 1953.
- [5] Bakır, Ş. : Optimierung eines Konvertertragrings insbesondere unter Berücksichtigung der bei der Belastung auf tretenden Wölbkrafttorsion. Rechnerische und Spannungsoptische Untersuchung, Diss. TU Clausthal 1976.